

LOBAÇÃO PULMONAR E DISTRIBUIÇÃO BRÔNQUICA DA JARITATACA (*Conepatus semistriatus*, Boddaert, 1785) - COMUNICAÇÃO CURTA

Matheus Camargos de Britto Rosa¹
Gabriela Castro Lopes¹
Carlos Eduardo Oliveira Sestari²
Gregório Corrêa Guimarães¹
Fabrício Singaretti Oliveira²

RESUMO

Este estudo objetivou descrever a lobação pulmonar e a distribuição brônquica da jaritataka. Foram utilizados quatro espécimes provenientes de atropelamentos. Os animais exibiram pulmões em forma de semicone e os lobos cranial, médio, caudal e acessório formaram o pulmão direito. O pulmão esquerdo exibiu lobos cranial e caudal, sem divisão do lobo cranial. O brônquio principal direito se trifurcou em um brônquio para o lobo cranial, um para o médio e um para os lobos caudal e acessório. O brônquio lobar cranial direito se dividiu em três brônquios segmentares; o brônquio lobar acessório e o lobar médio direito originaram dois brônquios segmentares; o brônquio lobar caudal direito deu origem a seis brônquios segmentares. O brônquio principal esquerdo bifurcou-se em um brônquio para o lobo cranial e um para o lobo caudal. O brônquio lobar cranial esquerdo dividiu-se em seis brônquios segmentares, assim como o brônquio lobar caudal esquerdo. A distribuição brônquica e a lobação dos pulmões da jaritataka são diferentes das reportadas em carnívoros domésticos e roedores selvagens.

Palavras-chave: pulmão, lobação, brônquio, *Conepatus semistriatus*

LUNG LOBATION AND BRONCHIAL DISTRIBUTION IN THE STRIPED HOG- NOSED SKUNK (*Conepatus semistriatus*, Boddaert, 1785) – SHORT COMMUNICATION

ABSTRACT

This study aimed to anatomically describe the lung lobation and bronchial distribution in the striped hog-nosed skunk. Lungs of four animals which were run over were used. Animals presented semicone-shaped lungs and the right lung was constituted by cranial, middle, caudal and accessory lobes. The left lung presented cranial and caudal lobes, and no cranial lobe division was noted. The right main bronchus divided into one bronchus to the cranial lobe, one to the middle lobe and one to the caudal and accessory lobes. The right cranial lobar bronchus divided into three segmental bronchi; the accessory lobar bronchus and the right middle lobar bronchus gave origin to two segmental bronchi; the right caudal lobar bronchus originated six segmental bronchi. The left main bronchus bifurcated into a bronchus to the cranial and a bronchus to the left caudal lobes. The left cranial lobar bronchus divided into six segmental bronchus, as well as the left caudal bronchus. The bronchial distribution and the lung lobation in the striped hog-nosed skunk are different from the ones reported in domestic carnivorous and wild rodents.

Keywords: lung, lobation, bronchus, *Conepatus semistriatus*

¹ Depto de Medicina Veterinária - Universidade Federal de Lavras (UFLA)

² Depto de Medicina Veterinária - Universidade Estadual de Maringá (UEM)

DISTRIBUCIÓN DE LÓBULOS PULMONARES Y ÁRBOL BRONQUIAL DE LA MOFETA BILISTADA (*Conepatus semistriatus*, Boddaert, 1785) – COMUNICACIÓN CORTA

RESUMEN

Este estudio tuvo por objetivo describir la distribución de los lóbulos pulmonares y el árbol bronquial de la mofeta bilistada. Fueron empleados cuatro especímenes provenientes de atropellamientos. Los animales exhibieron pulmones en forma casi cónica y el pulmón derecho estaba formado por lóbulos craneal, medio, caudal y accesorio. El pulmón izquierdo exhibió lóbulos craneal y caudal, pero sin división del lóbulo craneal. El bronquio principal derecho se trifurcó en un bronquio para el lóbulo craneal, uno para el medio, y uno para los lóbulos caudal y accesorio. El bronquio lobular craneal derecho se dividió en tres bronquios segmentares; el bronquio lobular accesorio y el lobular medio derecho originaron dos bronquios segmentares; ya el bronquio lobular caudal derecho dio origen a seis bronquios segmentares. El bronquio principal izquierdo se bifurcó en un bronquio para el lóbulo craneal y uno para el lóbulo caudal. El bronquio lobular craneal izquierdo se dividió en seis bronquios segmentares, así como el bronquio lobular caudal izquierdo. La distribución de bronquios y de lóbulos pulmonares de la mofeta es diferente de la reportada en la literatura para carnívoros domésticos y roedores salvajes.

Palabras-clave: pulmón, lóbulo, bronquio, *Conepatus semistriatus*

A jaritataca é um carnívoro da família *Mephitidae*, possuindo distribuição no sul do México, norte do Peru e dos Andes, e populações isoladas no Brasil (1). No Brasil, tem sido observada na Mata Atlântica no município de Viçosa, MG (2), no Parque Nacional das Emas, GO (3) e em regiões da Bahia (4), evitando habitar regiões de florestas densas (5).

O objetivo deste trabalho é descrever a lobação pulmonar e a distribuição brônquica da jaritataca, fornecendo base para futuros estudos clínicos, além de contribuir com a anatomia comparada de carnívoros.

Foram utilizados os pulmões de quatro exemplares de jaritataca (Figura 1), adultos, 3 machos e 1 fêmea, mortos em rodovias do estado de Minas Gerais, os quais foram resgatados por pesquisadores do projeto “Corredores naturais - entendendo os efeitos de estradas nos processos de fragmentação e conectividade - CRA-APQ-02805-09/FAPEMIG” e transportados para o Laboratório de Anatomia Animal da Universidade Federal de Lavras, MG. A coleta dos cadáveres foi realizada com autorização do ICMBIO N° 31887-1 código de autenticação 94134329.

Os animais foram fixados por injeções intra-musculares e intra-viscerais com solução de formaldeído a 10%. As peças foram mantidas na mesma solução por pelo menos 72 horas, e então, lavadas em água corrente para posterior dissecação e fotodocumentação.

Não houve diferenças entre as peças anatômicas utilizadas. O pulmão direito da jaritataca apresentou os lobos cranial, médio, caudal e acessório. O pulmão esquerdo exibiu dois lobos, cranial e caudal, os quais não possuem subdivisão. Ambos exibiram fissuras interlobares profundas, deixando os lobos praticamente independentes um do outro (Figura 2).



Figura 1. Vista dorsal de exemplar macho de jaritataka (*Conepatus semistriatus*) fixado em solução de formaldeído a 10%.

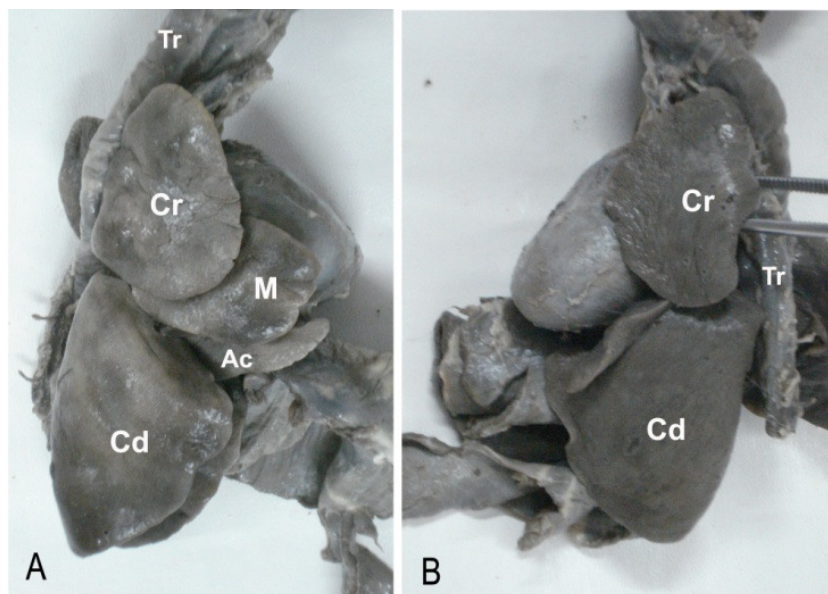


Figura 2. Vista costal dos pulmões direito (A) e esquerdo (B) da jaritataka. Traqueia (Tr) e lobos cranial (Cr), caudal (Cd), médio (M) e acessório (Ac) são visíveis na figura.

O brônquio principal direito se trifurcou em um brônquio para o lobo cranial, um para o médio e um para os lobos caudal e acessório. O brônquio lobar cranial direito se dividiu em três brônquios segmentares (cranial, mediodorsal e caudal); o brônquio lobar acessório e o lobar médio direito originaram dois brônquios segmentares (ventral e dorsal); o brônquio lobar caudal direito deu origem a seis brônquios segmentares (cranioventral, craniodorsal, mediodorsal, medioventral, caudodorsal e caudoventral).

O brônquio principal esquerdo bifurcou-se em um brônquio para o lobo cranial e um para o lobo caudal. O brônquio lobar cranial esquerdo dividiu-se em seis brônquios segmentares (cranioventral, craniodorsal, mediocranial, mediocaudal, caudoventral e caudodorsal), assim como o brônquio lobar caudal esquerdo (cranioventral, craniodorsal, medioventral, mediodorsal, caudoventral e caudodorsal (Figura 3).

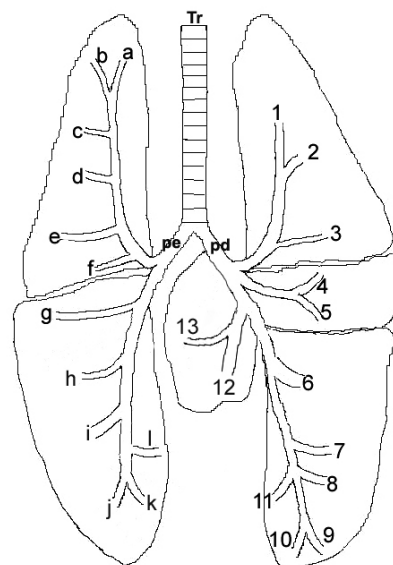


Figura 3. Representação da lobação e distribuição brônquica dos pulmões da jaritataca (*Conepatus semistriatus*), vista dorsal. Tr: traqueia. pd: brônquio principal direito. pe: brônquio principal esquerdo. Pulmão direito: brônquios segmentares cranial (1), mediodorsal (2) e caudodorsal (3) para o lobo cranial; ventral (4) e dorsal (5) para o lobo médio; cranioventral (6), craniodorsal (7), mediodorsal (8), medioventral (11), caudodorsal (9) e caudoventral (10) para o lobo caudal; ventral (13) e dorsal (12) para o lobo acessório. Pulmão esquerdo: brônquios segmentares cranioventral (a), craniodorsal (b), mediocranial (c), mediocaudal (d), caudodorsal (e) e caudoventral (f) para o lobo cranial; cranioventral (g), craniodorsal (h), mediodorsal (i), medioventral (l), caudodorsal (j) e caudoventral (k) para o lobo caudal.

No pulmão da jaritataca, havia fissuras interlobares evidentes entre os lobos, similarmente aos canídeos (6, 7), felídeos domésticos (8), mão-pelada (*Procyon cancrivorus*) (9) e aos roedores selvagens, como as cutias (*Dasyprocta azarae*) (10).

Não houve divisão do lobo cranial esquerdo, similarmente ao descrito para o mão-pelada (9) e para os equinos (6), diferentemente do descrito para os carnívoros domésticos (6), cutias (10), capivaras (*Hydrochaerus hydrochaeris*) (11) e pacas (*Agouti paca*) (12).

Nos lobo médio direito e acessório, observou-se um brônquio lobar que se bifurcava em brônquios segmentares, como ocorre nos carnívoros domésticos (6) e no mão-pelada (9).

Os seis brônquios segmentares existentes no lobo caudal direito da jaritataca diferiram da distribuição observada na cutia (10) e na paca (12), as quais exibiram apenas um grande brônquio para este lobo. No lobo cranial esquerdo da jaritataca também se observaram seis brônquios segmentares, o que é diferente do descrito em cutias (10), pacas (12) e mão-pelada (9), os quais possuem duas, duas e três divisões bronquiais neste lobo, respectivamente.

No lobo caudal esquerdo, os seis brônquios segmentares existentes na jaritataca diferiram do observado em cutias (10) e pacas (12) que exibiram, respectivamente, um ou três brônquios segmentares.

A distribuição brônquica e a lobação dos pulmões da jaritataca são diferentes das reportadas em carnívoros domésticos e roedores selvagens, sendo marcante a não divisão do lobo cranial esquerdo, como observado no mão-pelada e no equino.

AGRADECIMENTOS

À FAPEMIG e ao Professor Alex Bager, do Departamento de Biologia da UFLA, pelo apoio no desenvolvimento do trabalho.

REFERÊNCIAS

1. Nowak RM. Walker's carnivores of the world. Baltimore: Johns Hopkins University Press; 2005.
2. Prado MR, Rocha EC, Del Giudice GML. Mamíferos de médio e grande porte em um fragmento de mata atlântica, Minas Gerais, Brasil. Rev Arvore. 2008;32:741-9.
3. Rodrigues FHG, Silveira L, Jacomo ATA, Carmignotto AP, Bezerra AMR, Coelho DC, et al. Composição e caracterização da fauna de mamíferos do Parque Nacional das Emas, Goiás, Brasil. Rev Bras Zool. 2002;19:589-600.
4. Bocchiglieri A, Mendonça AF, Henriques RPB. Composição e diversidade de mamíferos de médio e grande porte no Cerrado do Brasil central. Biota Neotrop. 2010; 10:169-76. [acesso em 2012 Jan 08]. Disponível em: <http://www.biotaneotropica.org.br/v10n3/pt/abstract?article+bn03110032010>.
5. Emmons LH, Feer F. Neotropical rainforest mammals: a field guide. Chicago: University of Chicago Press; 1997.
6. Dyce KM, Sack WO, Wensing CJG. Aparelho respiratório. In: Tratado de anatomia veterinária. 3ª ed. Rio de Janeiro: Guanabara Koogan; 2004. p.146-63.
7. Hare WCD. Sistema respiratório do carnívoro. In: Sisson S, Grossman ID. Anatomia dos animais domésticos. 5ª ed. Rio de Janeiro: Interamericana; 1986. p.1465-80.
8. Light GS. Atlas of feline anatomy for veterinarians. Philadelphia: W.B. Saunders; 1993. p.135-43.
9. Sestari CEO, Corrêa AF, Martins LL, Guimarães GC, Oliveira FS. Lobação pulmonar e distribuição brônquica em mão-pelada (*Procyon cancrivorus*, Cuvier, 1798) - relato de dois casos. Vet Zootec. 2011;18:374-8.
10. Penno AK, Carvalho MAM, Assis Neto AC, Azevedo LM, Mello GWS. Lobação, ramificação brônquica e distribuição arterial no pulmão da cutia (*Dasyprocta* sp., Mammalia Rodentia). Braz J Vet Res Anim Sci. 2005;42:327-32.
11. Citrângulo M, Ribeiro AACM, Moraes PTB, Machado MRF. Lobation and arterial vascularization of the lung of capybara (*Hydrochaeris hydrochaeris*). Arq Cienc Vet Zool UNIPAR. 2001;4:119-27.
12. Rehder AMA, Cortellini LM, Oliveira FS, Machado MRF. Lobação, árvore brônquica e vascularização arterial do pulmão da paca (*Agouti paca*, Linnaeus, 1766). Cienc Anim Bras. 2008;9:442-8.

Recebido em: 06/02/12**Aceito em: 01/08/12**